

УДК 004.657

© 2014 г. **Ю.А. Григорьев**, д-р техн. наук
(Московский государственный технический университет им. Н.Э. Баумана),
А.Д. Плутенко, д-р техн. наук
(Амурский государственный университет)

АНАЛИЗ ВРЕМЕНИ СОЕДИНЕНИЯ ТАБЛИЦ В СТРОЧНОЙ ПАРАЛЛЕЛЬНОЙ СИСТЕМЕ БАЗ ДАННЫХ И ПО ТЕХНОЛОГИИ MAPREDUCE

Анализ публикаций показал, что для реализации запросов к структурированным данным преимущество отдается параллельным СУБД. Технология MapReduce (MR) рассматривается как дополнение к технологии СУБД. В статье на примере задачи Join мы попытались выяснить, как поведут себя строчная параллельная СУБД и MR-система Hadoop, если варьировать параметры, которые в проведенных другими авторами экспериментах оставались постоянными или были другими. Ранее были разработаны детальные модели процессов соединения таблиц в строчной параллельной СУБД и MR-системе. В статье приведены результаты вычислительных экспериментов на этих моделях. Модели были настроены на разные схемы масштабирования для MR (число узлов), СУБД (объем данных в узле) и фрагментацию соединяемых таблиц по первичному ключу. Варьировались следующие параметры: селективность выбираемых данных, число сортируемых результирующих записей, мощность атрибута группирования. Результаты моделирования показали, что при увеличении объема хранимых данных параллельная СУБД проигрывает MR-системе по производительности, начиная с некоторых пороговых значений.

Ключевые слова: СУБД, SQL, технология MapReduce, запрос на соединение таблиц, оценка времени выполнения запроса, сравнение времени.

Введение

Известно [11], что изначально технология MapReduce (MR) ориентировалась на обработку огромных объемов неструктурированных текстовых данных на компьютерных кластерах с количеством узлов более 1000.

В статье [2] на конкретных тестовых примерах показано, что при обработке структурированных данных система MR проигрывает по производительности параллельным СУБД. Как отмечается в [3], различия в производительности между MR и СУБД объясняются различными факторами. При использовании СУБД не требуется выполнять разбор записей в прикладной программе. Здесь применяются эффективные алгоритмы сжатия данных, конвейеризация, планирование, поколонное хранение данных (в колоночных СУБД). Эксперименты проводились на

100 узлах, но авторы статьи [2] полагают, что те же относительные показатели производительности сохранились бы и на кластере с 1000 узлов (хотя оговариваются, что не могут проверить это утверждение). В то же время MR выигрывает по отказоустойчивости у параллельных СУБД [2, 4]. Авторы статьи [2] в другой своей публикации [3] подтверждают предыдущие результаты и приходят к выводу, что системы MR больше похожи на системы извлечения-преобразования-загрузки (extract-transform-load, ETL). Они быстро загружают и обрабатывают в заранее непредвиденном режиме данные большого объема. В этом качестве технология MR дополняет технологию СУБД, а не конкурирует с ней.

В [3] также отмечается, что многие СУБД поддерживают функции, определяемые пользователями (user-defined functions, UDF). Они могут выступать в качестве аналогов функций map и reduce, используемых в системах MR. Эти функции можно применять для реализации операций, которые не так легко выражаются средствами SQL. В [5] предлагается новый подход к реализации UDF, называемый SQL/MapReduce (SQL/MR) и позволяющий преодолеть многие из ограничений традиционного механизма UDF.

В проекте HadoopDB [4] (гибрид MR и СУБД) основная идея состоит в использовании MR в качестве координатора и коммуникационного слоя над несколькими узлами, в которых выполняются экземпляры одноузловой СУБД PostgreSQL. Запросы представляются на языке SQL, транслируются в MR расширенными существующими средствами (Hadoop Hive), и как можно большая часть работы передается в высокопроизводительные одноузловые СУБД. На тех же тестовых запросах ([2]) демонстрируется, что HadoopDB превосходит по производительности Hadoop, но уступает параллельным СУБД.

Как следует из рассмотренных публикаций, для реализации запросов к структурированным данным преимущество отдается параллельным СУБД. Технология MR рассматривается как дополнение к технологии СУБД. В основном этот вывод делается по результатам натуральных экспериментов, опубликованным в работе [2]. Мы не ставим под сомнение сами результаты тестирования. Но анализ архитектуры стенда и тестируемых запросов вызывает ряд вопросов: 1) эксперименты проводились с числом узлов от 1 до 100. Авторы [2] утверждают, что на 100 узлах две параллельные СУБД справляются с разными аналитическими задачами быстрее, чем MR. Приведены примеры параллельных систем баз данных с числом узлов меньше 100 и объемом данных 1-2 петабайтов. Но следует отметить, что общий объем данных мало влияет на время выполнения запроса к базе данных. Важна селективность данных, связанная с запросом. А она во многих тестируемых примерах была довольно низкой (задача Selection, задача Join и др.); 2) почти во всех тестируемых запросах SELECT не выполнялась такая важная операция как упорядочивание результирующих записей. Только в задаче Join [2, п. 4.3.4] использовалась конструкция "ORDER BY" и то с одной записью в результирующей таблице (LIMIT 1); 3) в задаче Join таблица UserVisits фрагментировалась не по первичному ключу, а по атрибуту соединения destURL. Это дает дополнительное преимущество параллельным СУБД, так как позволяет избежать межмашинного обмена при выполнении запроса на соединение таблиц (не вы-

полняется операция SHUFFLE). Но такая фрагментация влияет на время выполнения других запросов. Например, при поиске по другим атрибутам время выполнения запроса может увеличиться, так как возможен межмашинный обмен.

В данной статье на примере задачи Join из набора тестов [2] мы попытались выяснить, как поведут себя строчная параллельная СУБД и MR-система Hadoop, если варьировать параметры, которые в экспериментах [2] оставались постоянными или были другими. Это отличные схемы масштабирования для MR (число узлов) и СУБД (объем данных в узле), селективность поисковых атрибутов, сортировка всех результирующих данных, увеличение мощности атрибута группирования вместе с ростом объема хранимых данных, фрагментация таблиц по первичному ключу.

Выбор СУБД был связан с тем, что многие коммерческие параллельные СУБД – строчные (Teradata, DB2 и др.). А наиболее популярной MR-системой является Hadoop – проект с открытыми исходными текстами, выполняемый Yahoo! и Apache Software Foundation [3]. Выбор задачи Join был связан с тем, что в рамках этого одного запроса можно реализовать все основные операции SQL: селекцию (selection), соединение (join), агрегацию (aggregation), проекцию (projection), группирование (grouping) и сортировку (sorting). Конечно, реализовать натуральный эксперимент с 1000 и более узлами и большим объемом данных крайне затруднительно – существенно возрастает стоимость стенда, а также увеличивается время натурального моделирования и обработки результатов.

В работах [7, 8] дан подход к оценке времени соединения таблиц в параллельных СУБД с использованием методов Nested Loop Join и Hash Join на основе преобразования Лапласа-Стилтьеса (ПЛС). Но предлагаемые в этих статьях модели не учитывают ряд важных параметров и некоторые особенности обработки запросов в СУБД. В работах [9, 10] разработаны более детальные модели процессов соединения таблиц в строчной параллельной СУБД и MR-системе. С целью обеспечить адекватность моделей в аналитические выражения был введен параметр времени выполнения Короткой Логической Операции Алгоритма (КЛОА), позволивший выполнить калибровку моделей по результатам натуральных экспериментов, описанных в [2]. В данной работе приведены результаты вычислительных экспериментов на этих моделях и проанализированы зависимости среднего времени выполнения задачи Join для параллельной СУБД и MR-системы.

Сравнение среднего времени соединения таблиц в параллельной СУБД и в базе NoSQL по технологии MapReduce

Для калибровки моделей [9, 10] были использованы результаты натуральных экспериментов, приведенные для задачи Join в [2, п. 4.3.4]. Эти результаты соответствуют выполнению следующего запроса:

```
SELECT sourceIP, AVG(pageRank) as avgPageRank, SUM(adRevenue) as totalRevenue
FROM Rankings AS R, UserVisits AS UV
WHERE R.pageURL = UV.destURL AND
UV.visitDate BETWEEN Date('2000-01-15') AND Date('2000-01-22')
GROUP BY UV.sourceIP
ORDER BY totalRevenue DESC LIMIT 1;
```

Этот запрос соответствует рассмотренному в предыдущих работах предложению SELECT [9, 10, см. (2), (1)]: R2-Rankings AS R – ранг страницы; R1-UserVisits AS UV – обращение пользователя к странице; R1.A1X-sourceIP – IP-адрес пользователя; f1(atr1)-AVG(pageRank) – средний ранг страницы; f2(atr2)-SUM(adRevenue) – суммарная выручка; q = 2; R1.A11-UV.destURL – страница, к которой обратился пользователь; R2.A21-R.pageURL – адрес страницы, условие по R1-UV.visitDate BETWEEN Date(‘2000-01-15’) AND Date(‘2000-01-22’), условие по R2 – нет, Y=1 (LIMIT).

В табл. 1 приведены некоторые данные, полученные на основании анализа характеристик устройств и результатов измерений, приведенных в [2, п. 4.3.4] для задачи Join. Они были использованы для калибровки моделей. В табл. 2 приведены исходные данные, использованные в процессе моделирования.

Таблица 1

Параметр	Значение	Примечание
Технические средства		
		Узел: один процессор Intel Core 2 Duo; 2,40 ГГц; 4 Гбайтов основной памяти; два 250-Гбайтных диска SATA-I; ОС Red Hat Enterprise Linux 5 (версия ядра 2.6.18).
	50	Сеть: максимальное число портов коммутатора Cisco Catalyst 3750E-48TD.
	9	Максимальное число коммутаторов в кольце.
Параллельная строчная СУБД		
T _{DBMS}	29 с	Среднее время выполнения запроса при n≥10 (практически не зависит от числа узлов в кластере).
MapReduce (Hadoop)		
T _{F1} = T _{M1} +T _{R1}	1435 с	Среднее время выполнения фазы 1 [2] (практически не зависит от числа узлов в кластере).
T _{M11}	600 с	Фаза 1 (map): чтение с диска таблиц UserVisits и Rankings.
T _{M12}	300 с	Фаза 1 (map): разбиение, разбор и десериализация различных атрибутов.
T _{F2} = T _{M2} +T _{R2}	24.3 с	Среднее время выполнения фазы 2 [2] (практически не зависит от числа узлов в кластере).
T _{F3} = T _{M3} +T _{R3}	12.7 с	Среднее время выполнения фазы 3 [2] (практически не зависит от числа узлов в кластере).

Таблица 2

Параметр	Значение	Примечание
Параметры базы данных и запроса [2, п. 4.3]		
V ₁	20 Гбайт	Объем таблицы UserVisits (R1) на узел.
Q ₁	155·10 ⁶	Число записей в таблице UserVisits (R1) на узел.
V ₂	1 Гбайт	Объем таблицы Rankings (R2) на узел.
Q ₂	18·10 ⁶	Число записей в таблице Rankings (R2) на узел.
p ₁	134000/Q ₁ = 8.6·10 ⁻⁴	Доля записей таблицы UserVisits, удовлетворяющих условию поиска, используется кластеризованный индекс на столбце UserVisits.visitDate.
p ₂	1	Так как в запросе нет условия поиска по таблице Rankings.
I _{A1X}	2,5·10 ⁶	Мощность атрибута sourceIP (R1.A1X) [2, п. 4.3.3].
I _A	24 байт	Длина записи (sourceIP, AVG(pageRank), SUM(adRevenue)), т.е. (R1A1X, agr1, agr2).

Параллельная строчная СУБД		
V_H, V_S	512 Мбайт	Размер области хеширования в ОП, размер области памяти, отведенной под сортировку. Эти величины принимаются равными размеру буферного пула строчной СУБД.
μ_{DR1}	20 Гбайт / 390 с = = 51 Мбайт/с	Пропускная способность файловой системы СУБД на чтение с учетом сжатия данных исходных таблиц [2, п. 4.3.3, рис. 8, Nodes 10, 25, 50, 100].
μ_{DR1}	51/2 = 25.5 Мбайт/с	Пропускная способность файловой системы СУБД на чтение без сжатия промежуточных таблиц [2, п. 4.1.1, СУБД-X – время увеличивается на 50%]: $\mu_{DR1}/2$.
μ_{DW1}	20 Гбайт · 50 Nodes / 25000 с = = 40 Мбайт/с	Пропускная способность файловой системы СУБД на запись промежуточных таблиц без сжатия [2, п. 4.3.1, рис. 3, Nodes 10, 25, 50, 100]: $V_1 \cdot \text{Nodes} / t_{\text{bottom}}$
l	20 Гбайт / $155 \cdot 10^6$ = = 130 байт	Длина записи создающей таблицы: V_1/Q_1 .
Q	134000	Число записей в создающей таблице (R1): $p_1 \cdot Q_1$.
V	134000 · 130 байт = = 17.4 Мбайт	Объем создающей таблицы: $Q \cdot l$.
g	134000	Число хеш-разделов создающей таблицы: $g=Q$ (оптимальное значение).
$l_{\text{зонд}}$	1 Гбайт / $18 \cdot 10^6$ = = 56 байт	Длина записи зондирующей таблицы: V_2/Q_2 .
$Q_{\text{зонд}}$	$18 \cdot 10^6$	Число записей в зондирующей таблице (R2): $p_2 \cdot Q_2$.
$V_{\text{зонд}}$	$18 \cdot 10^6 \cdot 56$ байт = = 1 Гбайт	Объем зондирующей таблицы: $Q_{\text{зонд}} \cdot l_{\text{зонд}}$
v	64 Кбайт	Размер блока ввода/вывода на диск.
MapReduce (Hadoop)		
L	2	На каждом узле запускались два экземпляра Map и один экземпляр Reduce [2, п. 4.1.1].
μ_{DR1}	(20 Гбайт+1 Гбайт) / 600 с =35 Мбайт/с	Пропускная способность файловой системы базы данных NoSQL (HDFS) на чтение: $(V_1+V_2)/T_{M11}$ (см. табл.1).
μ_{DW1}	35/(22.3/5.2)=8 Мбайт/с	Пропускная способность файловой системы базы данных NoSQL (HDFS) на запись: $\mu_{DR1}/(\text{Average IO rate read} / \text{Average IO rate write})$ [16].
t_z	10 с	Время распространения функций Map и Reduce по узлам системы [2, п. 5.1.2].
Пропускные способности устройств		
$\mu_{PW}, \mu_{N1}, \mu_{N2}, \mu_{PR}$	1 Гбит/с, 128 Гбит/с, 64 Гбит/с, 1 Гбит/с	Пропускные способности порта коммутатора (выход), коммутирующей матрицы коммутатора, соединительного кольца, порта коммутатора (вход) [2, п. 4.1.2].
СУБД: $\mu_{DR2}, MR:$ $\mu_{DR2},$ μ_{DR3}, μ_{DR4}	50 Мбайт/с	Производительность диска SATA1 на последовательное чтение [12].
СУБД: $\mu_{DW2}, MR:$ $\mu_{DW2},$ $\mu_{DW3},$ μ_{DW4}	50 Мбайт/с	Производительность диска SATA1 на последовательную запись [12].

Обозначения параметров в первой колонке табл. 1 и 2 соответствуют обозначениям, принятым в [9, 10].

В результате калибровки модели были получены следующие значения процессорного времени одной короткой логической операции алгоритма (КЛОА): СУБД – $\tau = 2 \cdot 10^{-8}$ с, MapReduce – $\tau = 1,6 \cdot 10^{-8}$ с.

На рис. 1 ÷ 4 приведены результаты вычислительных экспериментов, выполненных по формулам (26) [9], (38) [10], для СУБД и для технологии MapReduce (MR).

В отличие от натуральных экспериментов [2, п. 4.3.4] при моделировании учитывалось, что в параллельной строчной СУБД соединяемые таблицы фрагментированы по своим первичным ключам. Эта предпосылка является более правдоподобной.

Далее в модельных экспериментах для MR увеличивалось число узлов $n = 100 \div 1900$ с шагом 200. При этом объемы обрабатываемых таблиц UserVisits и Rankings в каждом узле оставались неизменными (см. параметры V_1, Q_1, V_2, Q_2 в табл. 2).

Так как параллельные СУБД устанавливаются, в основном, в системах с числом узлов меньше 100 [4], то при моделировании СУБД число узлов оставалось неизменным $n = 100$. Но при этом изменялись объемы обрабатываемых таблиц UserVisits и Rankings в каждом узле: $mV_1, mQ_1, mV_2, mQ_2, m = 1 \div 19$.

Как и ожидалось, при низкой селективности атрибута UV.visitDate (селективность = диапазон в запросе / весь доступный диапазон) и ограничении на число отсортированных результирующих записей ($Y = 1$) параллельная СУБД показывает существенно меньшее время выполнения запроса (рис. 1а). Основная доля времени для MR приходится на выполнение функции Map 1-й фазы (это подтверждают и натурные эксперименты). Но при $n > 4500$ ($m > 45$) MapReduce показывает лучший результат, чем СУБД (на графике это не показано).

При низкой селективности атрибута UV.visitDate и отсутствии ограничения на число отсортированных результирующих записей ($Y = n/l$ – no limit, т.е. без ограничения) технология MR начинает выигрывать по времени при $n > 1500$ ($m > 15$) (рис. 1б).

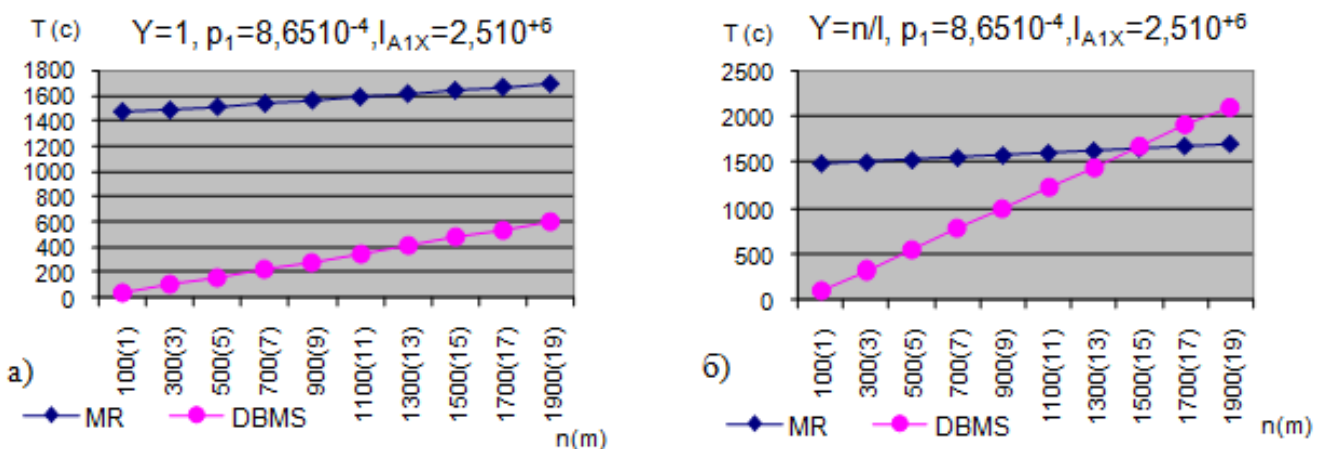


Рис. 1. Зависимости времени выполнения запроса при низкой селективности (p_1) атрибута UV.visitDate, при $Y = 1$ (а) и при отсутствии параметра LIMIT (б).

Это объясняется тем, что на 4-й фазе СУБД должна выполнить сортировку/объединение большого числа записей, поступающих со всех $n = 100$ узлов ($T_{F4} = 1500$ с при $m = 19$). В то же время для MR записи, подлежащие агрегированию и сортировке, распределяются по большому числу узлов и требуемые операции выполняются параллельно (поэтому $T_{M3} + T_{R3} = 25,6$ с при $n = 1900$).

При средней селективности (p_1) атрибута UV.visitDate технология MR начинает выигрывать у СУБД уже при $n > 900$ ($m > 9$) для $Y = 1$ и при $n > 100$ ($m > 1$) для $Y = n/l$ (рис. 2 а,б). Это объясняется резким увеличением времени хеш-соединения таблиц в СУБД.

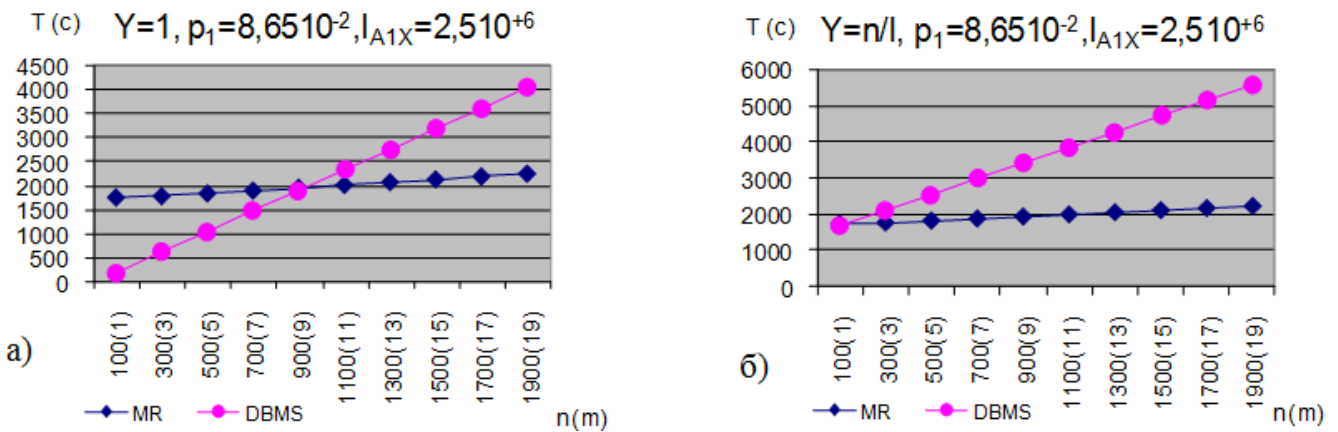


Рис. 2. Зависимости времени выполнения запроса при средней селективности (p_1) атрибута UV.visitDate, при $Y = 1$ (а) и при отсутствии параметра LIMIT (б).

Если уровень селективности атрибута UV.visitDate высок ($p_1 = 1$), т.е. когда индексы не используются и из базы данных читаются все записи соединяемых таблиц, то при $n > 300$ ($m > 3$) выигрыш при использовании MapReduce становится ощутимым (рис. 3 а,б). Для СУБД резко возрастает время хеш-соединения таблиц и межмашинного обмена, это связано с тем, что записи таблицы UserVisits не фрагментированы по атрибуту соединения ($T_{F1} = 9500$ с, $T_{F2} = 25341$ с при $Y = 1$ и $m = 19$).

Для MR возрастает время чтения и разбора записей, время пересылки записей по сети и их соединения/сортировки, а также время агрегирования записей в узлах ($T_{M1} = 2560$ с, $T_{R1}=4090$ с., $T_{M2} = 625$ с, $T_{R2}=1770$ с при $Y = 1$ и $n = 1900$).

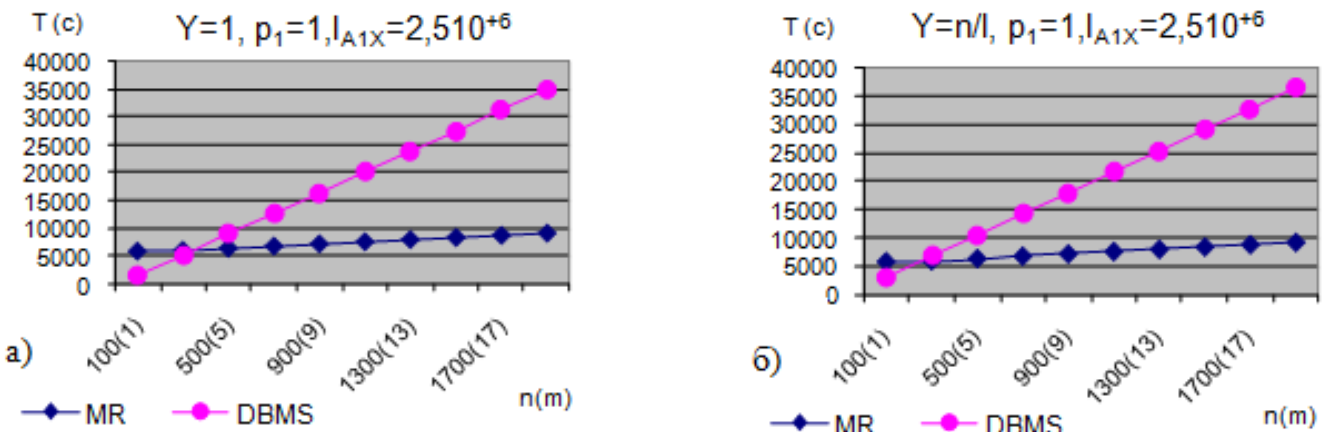


Рис. 3. Зависимости времени выполнения запроса при высокой селективности ($p_1 = 1$) атрибута UV.visitDate, при $Y = 1$ (а) и при отсутствии параметра LIMIT (б).

На рис. 4а,б показаны графики зависимостей времени выполнения запроса в случае пропорционального увеличения мощности атрибута группирования UV.sourceIP: $IA_{1X} = m \cdot 2,5 \cdot 10^6 + 6$; $m = 1 \div 19$. При средней селективности атрибута UV.visitDate и $Y = 1$ технология MR предпочтительнее при $n > 800$ ($m > 8$) (рис. 4а). При отсутствии ограничения на число отсортированных результирующих записей ($Y = n/l$) MR начинает выигрывать у СУБД уже при $n > 100$ ($m > 1$) (рис. 4б). Скачок времени выполнения запроса в СУБД при увеличении уровня объема данных 'm' в узле с 7 до 9 (см. рис. 4б) объясняется резким скачком времени сортировки сгруппированных записей в узле на 3-й фазе (TF3 возросло от 80 с до 9190 с).

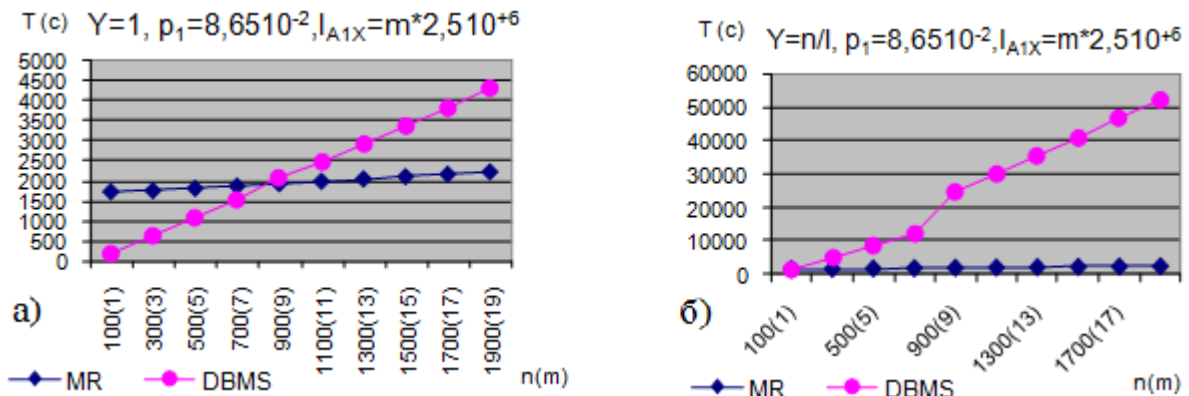


Рис. 4. Зависимости времени выполнения запроса при средней селективности (p_1) атрибута UV.visitDate при пропорциональном увеличении мощности $I_{A_{1X}}$ атрибута группирования UV.sourceIP (m), при $Y = 1$ (а) и при отсутствии параметра LIMIT (б).

Заключение

Выполнено сравнение среднего времени соединения таблиц в строчной параллельной СУБД и по технологии MapReduce (MR). Здесь объем данных увеличивался следующим образом: для MR – за счет наращивания узлов ($n = 100 \div 1900$), для СУБД – за счет наращивания объема данных в каждом узле ($n = 100$, $m = 1 \div 19$). При сравнительно небольших объемах обрабатываемых данных СУБД имеет преимущество. Но при увеличении объемов данных СУБД теряет преимущество и технология MapReduce начинает выигрывать по производительности (см. рис. 1÷4). Это ставит под сомнение мнение некоторых авторов [2], что MR-системы (на примере Hadoop) не могут конкурировать с параллельными СУБД по производительности при обработке структурированных данных. В конце концов, масштабируемость побеждает!

Появились гибридные СУБД, сочетающие преимущества параллельных СУБД и MR-систем. В дальнейшем предполагается разработать адекватные математические модели для систем SQL/MR [5] и MR/SQL [4] и выполнить на них сравнительные эксперименты.

ЛИТЕРАТУРА

1. Кузнецов С. MapReduce: внутри, снаружи или сбоку от параллельных СУБД? [Электронный ресурс] [http://citforum.ru/database/articles/dw_appliance_and_mr/5.shtml] Проверено 22.01.2014.

2. Павло Э., Паулсон Э., Разин А., Абади Д. и др. Сравнение подходов к крупномасштабному анализу данных. Пересказ Сергея Кузнецова. [Электронный ресурс] [http://citforum.ru/database/articles/mr_vs_dbms/] Проверено 22.01.2014.
3. Stonebraker M., Abadi D., Dawitt D.J., Madden S., Paulson E., Pavlo A., Rasin A. MapReduce and Parallel DBMSs: Friends or Foes? Communications of the ACM, January 2010. – Vol. 53, No. 1. – P.64-71.
4. Abouzeid A., Bajda-Pawlikowski K., Abadi D., Silberschatz A., Rasin A. HadoopDB: An Architectural Hybrid of MapReduce and DBMS Technologies for Analytical Workloads. In Proceedings of the Conference on Very Large Databases, August 24-28, 2009, Lyon, France.
5. Friedman E., Pawlowski P., Cieslewicz J. SQL/MapReduce: A practical approach to self-describing, polymorphic, and parallelizable userdefined functions. In Proceedings of the Conference on Very Large Databases, August 24-28, 2009, Lyon, France.
6. Григорьев Ю.А., Ермаков Е.Ю. Сравнение процессов обработки запроса к одной таблице в параллельной строчной и колоночной системе баз данных // Вестник МГТУ им. Н.Э. Баумана. – 2012. – Спец. выпуск №5. – С.31-45.
7. Григорьев Ю.А., Плужников В.Л. Оценка времени соединения таблиц в параллельной системе баз данных // Информатика и системы управления. – 2011. – № 1. – С.3-16.
8. Григорьев Ю.А., Ермаков Е.Ю. Оценка времени соединения двух таблиц в параллельной колоночной системе баз данных // Вестник МГТУ им. Н.Э. Баумана. – 2012. – № 4. – Сер. "Приборостроение": – С.80-100.
9. Григорьев Ю.А., Плутенко А.Д. Анализ процесса выполнения запроса на соединение таблиц в строчной параллельной СУБД // Информатика и системы управления. – 2013. – № 4. – С.3-15.
10. Григорьев Ю.А., Плутенко А.Д. Оценка времени соединения таблиц в базе данных NoSQL по технологии Mapreduce // Информатика и системы управления. – 2014. – № 1. – С.3-14.
11. Michael G. Noll. Benchmarking and Stress Testing an Hadoop Cluster With TeraSort, TestDFSIO & Co. [Электронный ресурс] [<http://www.michael-noll.com/blog/2011/04/09/benchmarking-and-stress-testing-an-hadoop-cluster-with-terasort-testdfsio-nnbench-mrbench/>] Проверено 22.01.2014.
12. Скорость жесткого диска (IDE, SATA1,2,3). [Электронный ресурс] [<http://mstream.ru/skorost-zhyostkogo-diska-ide-sata123/>] Проверено 22.01.2014.
13. Григорьев Ю.А., Плутенко А.Д. Теоретические основы анализа процессов доступа к распределенным базам данных. – Новосибирск: Наука, 2002.
14. Григорьев Ю.А., Плутенко А.Д. Теория и практика проектирования систем на основе баз данных: Учебное пособие. – Благовещенск: Амурский гос. ун-т, 2007.
15. Grigoriev Y.A., Burdakov A.V., Ploutenko, A.D. On the Estimation of Query Execution Time in Object-Oriented Databases at the Early Design Stages. Advances in Databases and Information Systems: Materials of 6th East-European Conference, ADBIS 2002, Bratislava, Slovakia, September 8-11, 2002 (Research Communications). – Vol. 2. – P.52-64.
16. Graefe G. Implementing Sorting in Database Systems. ACM Computing Surveys. – 2006. – Vol. 38, No. 3. – P.1-37.
17. Lewis J. Cost-Based Oracle Fundamentals. Apress, 2005.

E-mail:

Григорьев Юрий Александрович – grigorev@bmstu.ru;

Плутенко Андрей Долиевич – plutenko@bk.ru.